## 3-2 関東地方およびその周辺における微小地震活動 (1982年4月~1982年10月)

Microearthquake Activity in and around the Kanto District (April, 1982-October, 1982)

東京大学地震研究所 地震予知観測室 Earthquake Research Institute, University of Tokyo

1982年4月~10月の期間における関東地方の微小地震の震央分布図を第1図~7図に示す。この期間の主な活動は以下の通りである。

1) 1982年4月~5月の地震活動(第1,2図)

1982年3月27日, 房総半島はるか沖にM5.7の地震が発生し<sup>1)</sup>その余震活動は4月も引き続きみられ, 4月7日の11時31分にはM4.3の地震が発生した。余震活動は4月8日の18時頃まで続いた。

4月19日11時25分頃茨城県南西部(36.119°N, 139.913°E)にM4.6, h = 46.8km の地震が発生し、4月20日までに比較的マグニチュードの大きい(M2.0~3.1)地震がまとまって(6ケ)発生した。

5月5日~13日,5月12~13日に伊東沖付近および利島付近に顕著な微小地震活動が みられた $^2$  (前報参照)

- 2) 1982年6月~8月の地震活動(第3,4,5図)
  - 6月2日16時23分頃山梨・神奈川県境(35.436°N, 139.946°E)にM 3.6, h = 21.7km の地震が発生し、余震活動は6月13日頃まで続いた。
  - 6月15日~25日頃にかけて栃木県北西部<sup>3)</sup>(日光・足尾地域)の微小地震活動が活発であった。この活動期間での最大地震のマグニチュードは2.7である。
  - 6月27日~28日にかけて九十九里沖に地震活動がみられた。これらの地震のマグニチュードは $1.9 \sim 2.6$ 、深さは35 kmである。

7月23日に茨城県沖でM7.0の地震が発生した。この地震活動については別に報告する。 8月12日13時33分頃伊豆大島近海(34.883°N, 139.466°E)にM5.7, h = 32kmの 地震が発生し、その余震数は5ケと少なかった。

茨城県沖の地震活動は 8 月も引き続き活発であり、 $M \ge 5.0$  の地震は 8 月 14 日 06 時 15 分 ( M 5.4 )、8 月 16 日 01 時 58 分 ( M 5.4 )、8 月 24 日 01 時 40 分 ( M 5.8 ) で あった ( 第 5 図の黒丸 )。このうち 8 月 16 日の地震 ( M 5.4 ) は 16 日の 04 時までに 20 ケの

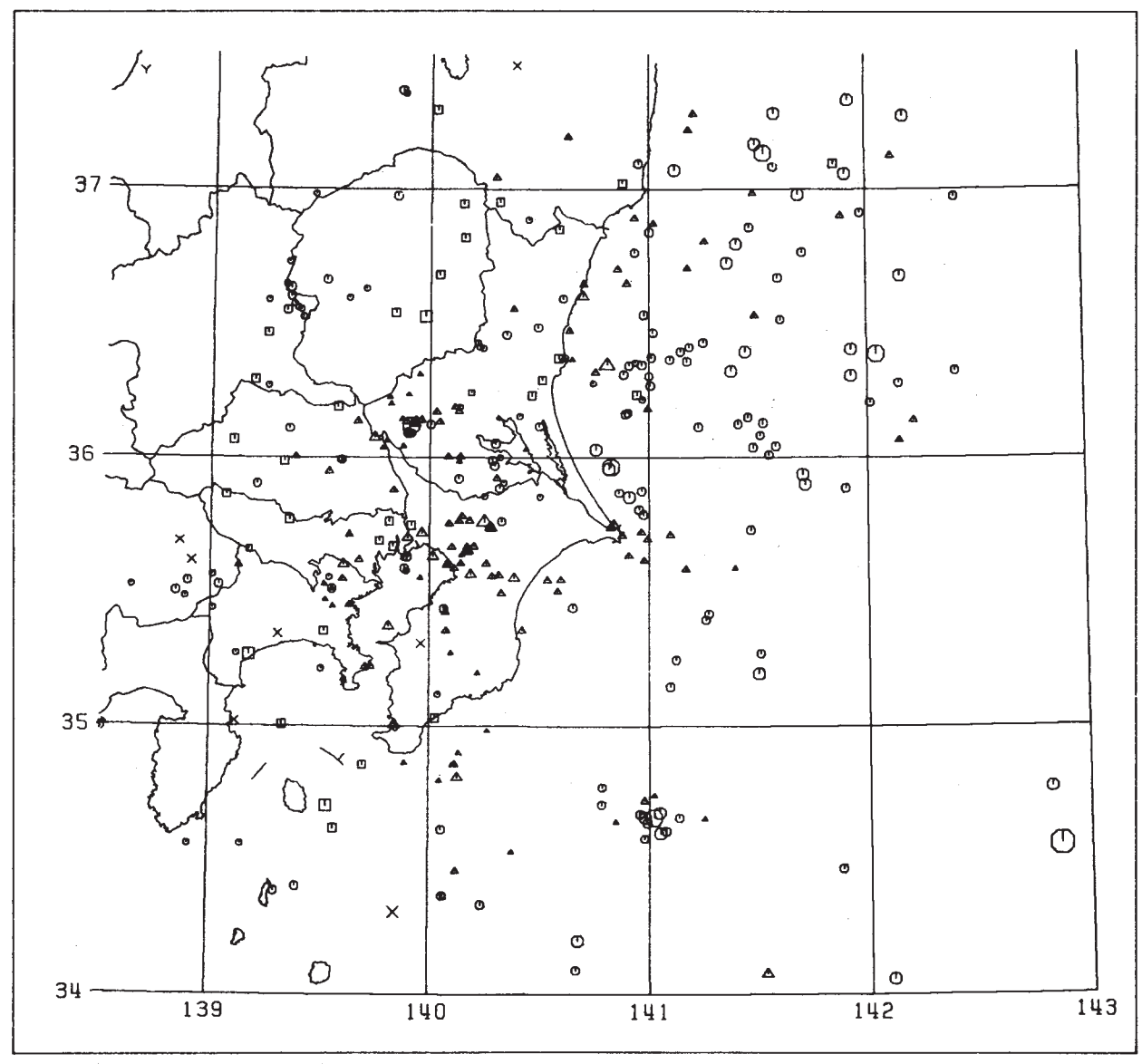
余震が観測された。

3) 1982年9月~10月の地震活動(第6,7図)

9月8日から伊東沖付近に微小地震が発生しはじめ、12日頃まで活動が続いた。この地震の活動域は1982年5月の伊東沖付近の活動とほぼ同じであった。この他の活動としては、9月19日11時01分に伊豆大島近海(M3.1)、9月25日03時27分小田原周辺(M3.5)10月25日00時50分の千葉県北部(M4.3)であった。9月19日の伊豆大島近海および10月25日の千葉県北部では若干の余震が観測された。

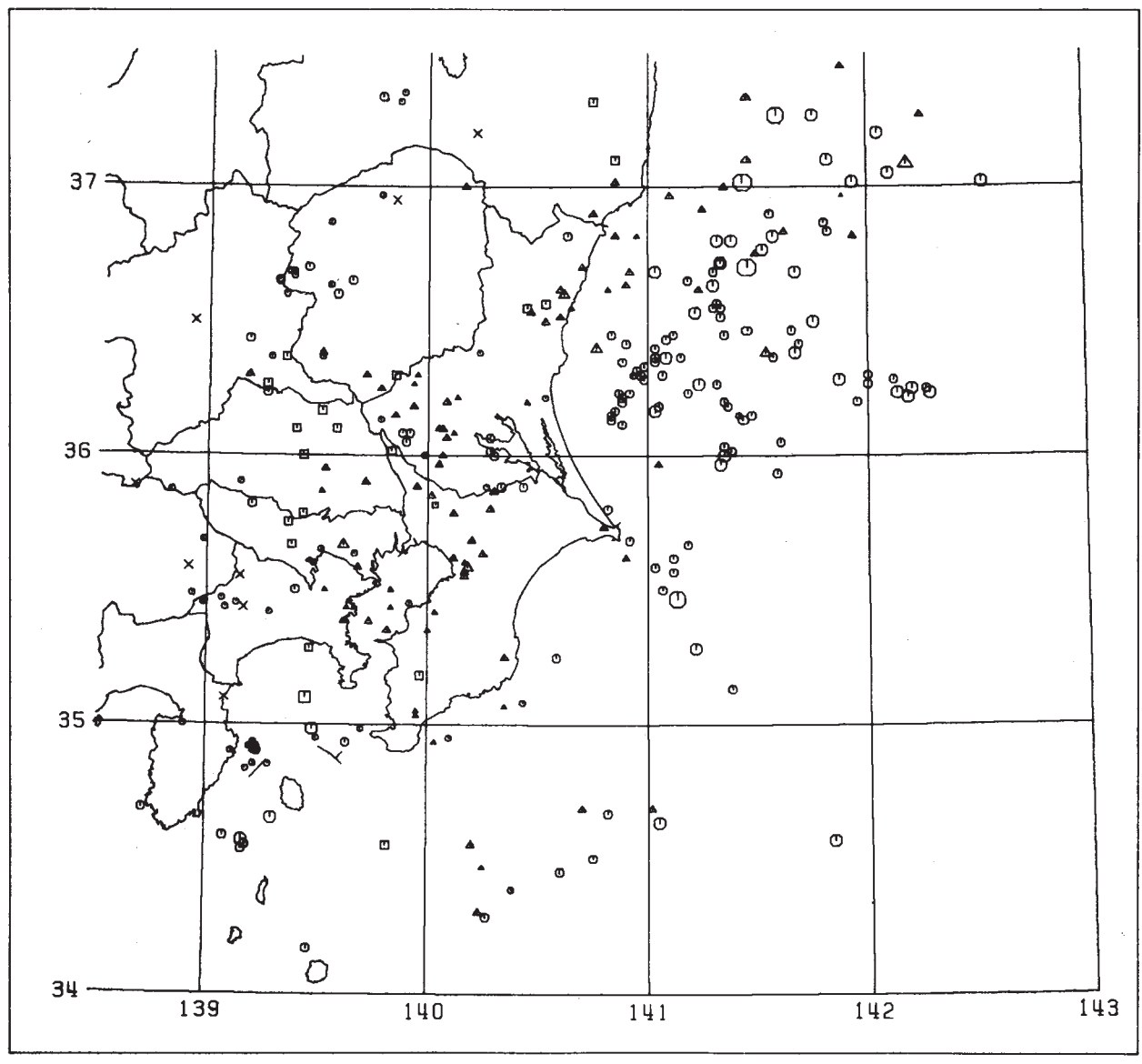
## 参 考 文 献

- 1) 東京大学地震研究所: 関東地方およびその周辺における微小地震活動(1981年11月~1982年3月),連絡会報,**28**(1982),66-77.
- 2) 東京大学地震研究所: 関東地方およびその周辺における微小地震活動(1981年11月~1982年3月),連絡会報, **28**(1982),66-77.
- 3) 東京大学地震研究所: 関東地方北部, 日光・足尾地域における微小地震活動の特性, 連絡会報, **28**(1982), 95-104.



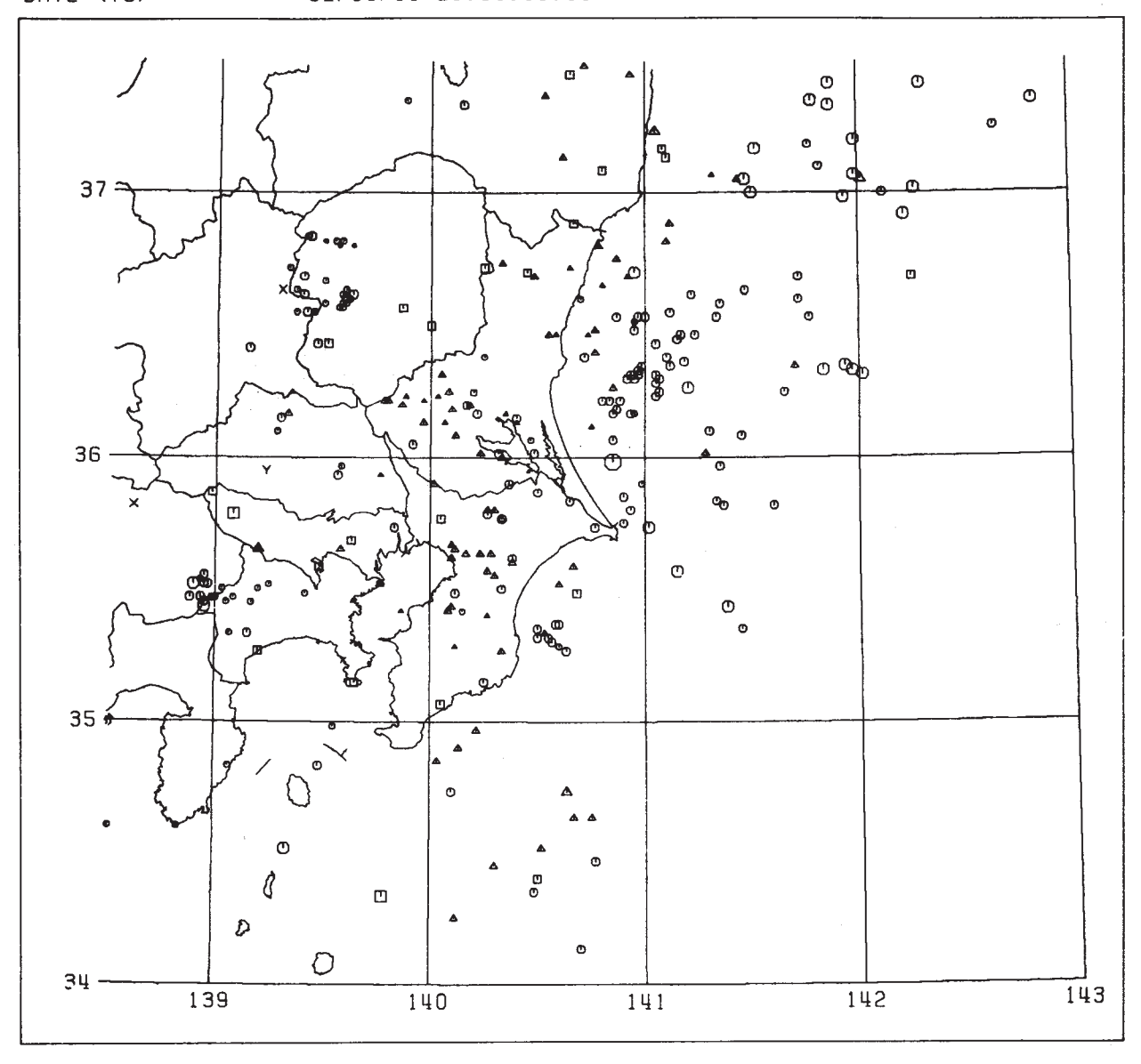
第1図 関東地方の震央分布(1982年4月;震源の深さ,0≤h<300km)

Fig. 1 Epicentral distribution in the Kanto district (April, 1982; focal depth,  $0 \le h < 300 \text{ km}$ ).



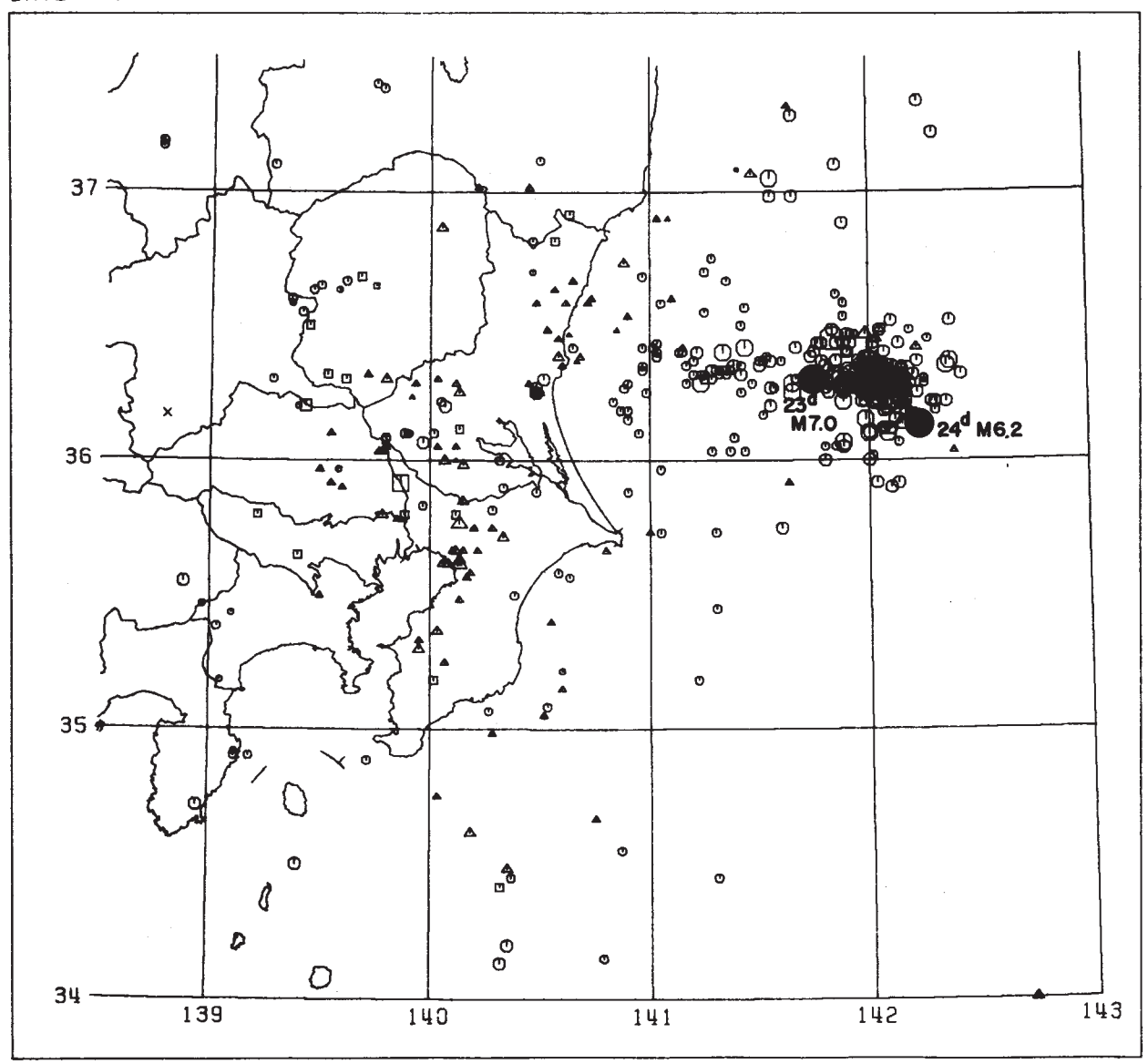
第2図 関東地方の震央分布(1982年5月;震源の深さ,0≤h<300km)

Fig. 2 Epicentral distribution in the Kanto district (May, 1982; focal depth,  $0 \le h < 300 \text{ km}$ ).



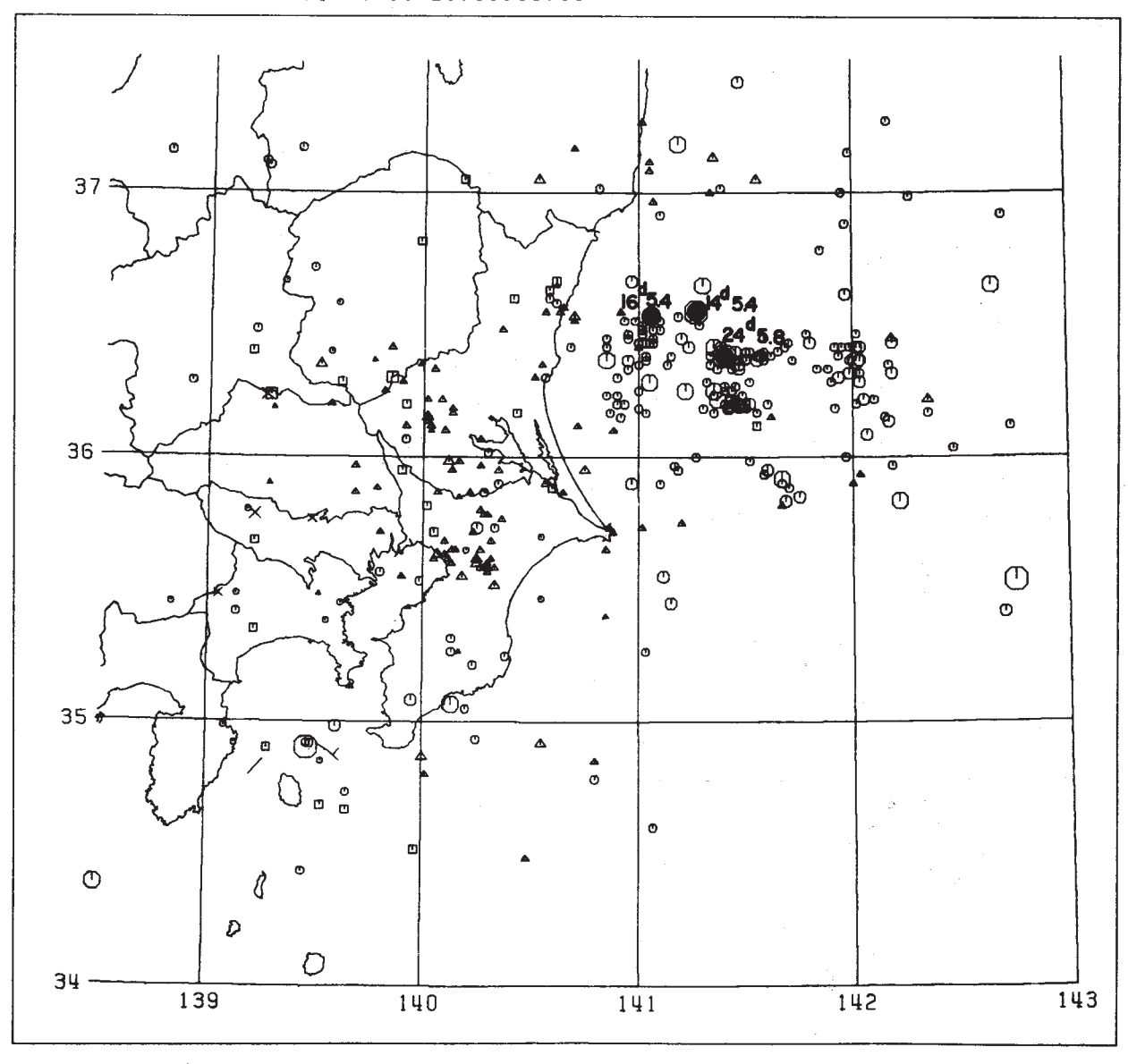
第3図 関東地方の震央分布(1982年6月;震源の深さ,0≤h<300km)

Fig. 3 Epicentral distribution in the Kanto district (June, 1982; focal depth,  $0 \le h < 300 \text{ km}$ ).



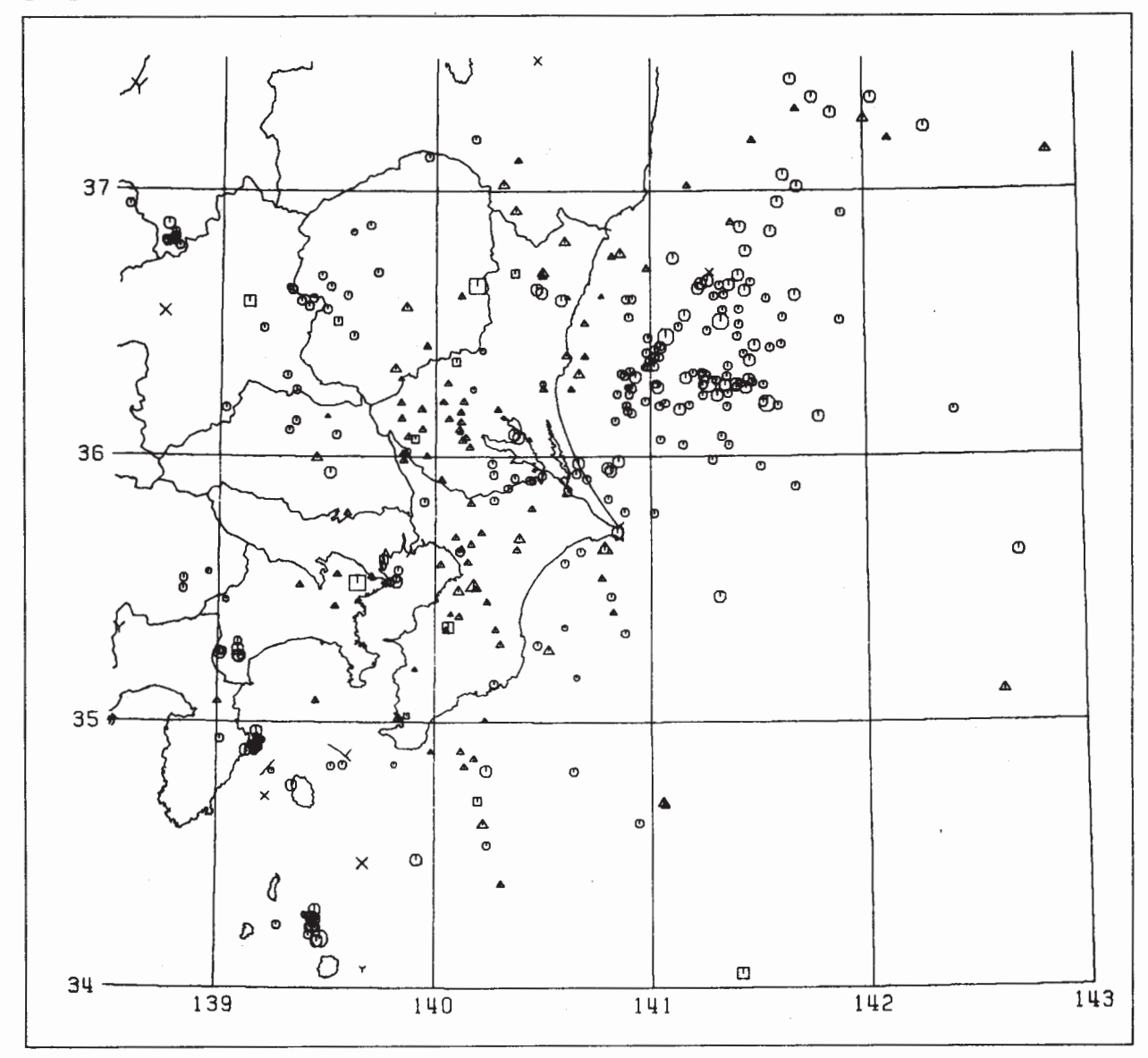
第4図 関東地方の震央分布(1982年7月;震源の深さ,0≤h<300km)

Fig. 4 Epicentral distribution in the Kanto district (July, 1982; focal depth,  $0 \le h < 300 \text{ km}$ ).



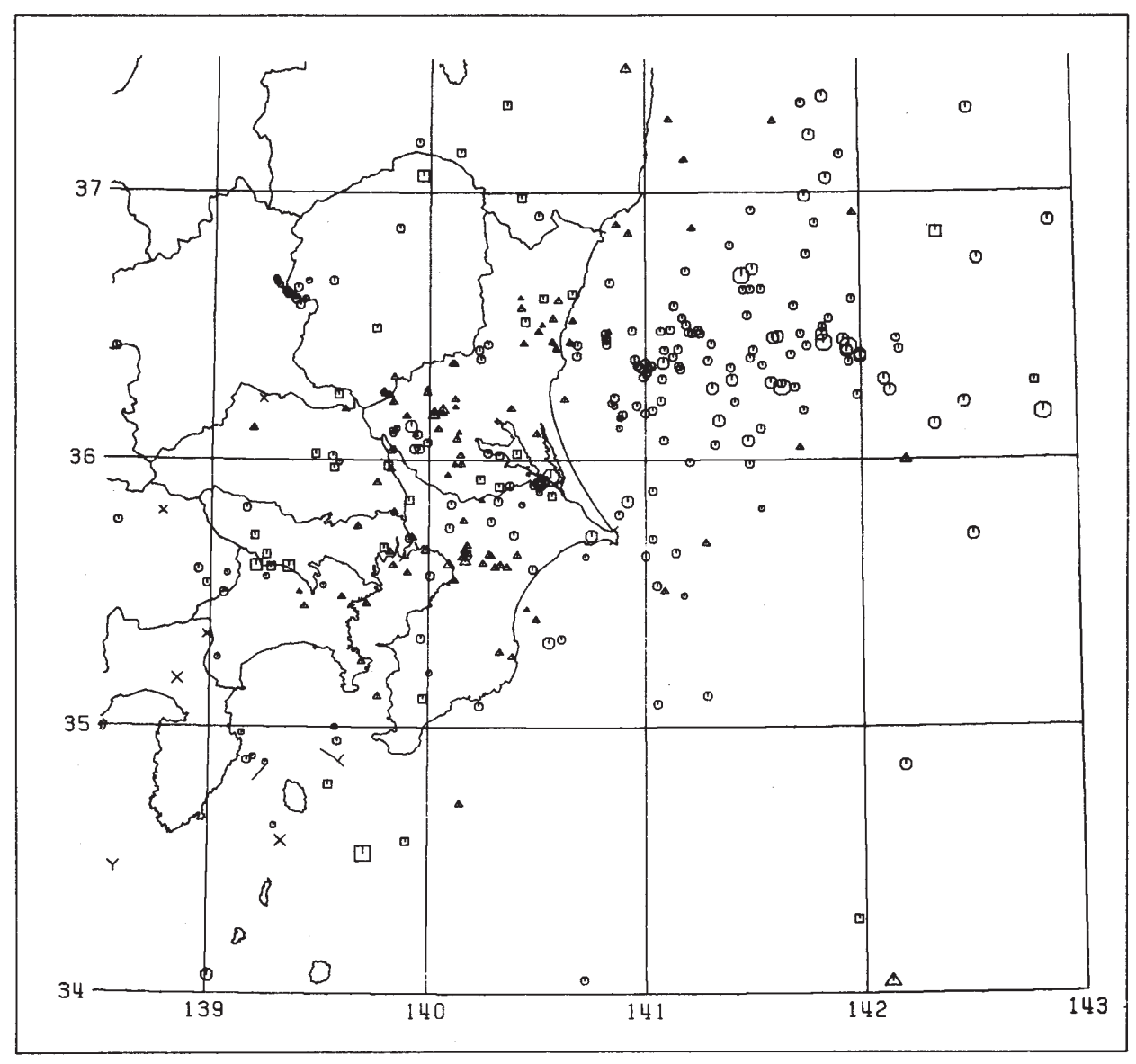
第5図 関東地方の震央分布(1982年8月;震源の深さ,0≤h<300km)

Fig. 5 Epicentral distribution in the Kanto district (August, 1982; focal depth,  $0 \le h < 300 \text{ km}$ ).



第6図 関東地方の震央分布(1982年9月;震源の深さ、0  $\leq$  h < 300km)

Fig. 6 Epicentral distribution in the Kanto district (September, 1982; focal depth,  $0 \le h < 300 km$ ).



第7図 関東地方の震央分布 (1982年10月;震源の深さ,0≤h<300km)

Fig. 7 Epicentral distribution in the Kanto district (October, 1982; focal depth,  $0 \le h < 300 km$ ).